# 1200–1600 MHz CI defasador digital — 6-bit; RMS 0.8° (típico)

LCI-PS-1200-1600-6B-C · 1200–1600 MHz · CI defasador digital.

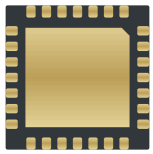

Valores da tabela RF: Erro RMS de fase em 64 estados 0.8 ° (típico); Variação de amplitude induzida pela defasagem ±0.4 dB (típico); VSWR de entrada 1.4 (típico); VSWR de saída 1.4 (típico). Condições de teste RF: TA = +25 °C.

QFN28 6 × 6 mm

As portas RF exigem capacitores externos de bloqueio DC.

TTL: H = 5 V; L = 0 V; φref: P1–P6 = L

P1 = H → Δφ = 5.625°

P2 = H → Δφ = 11.25°

P3 = H → Δφ = 22.5°

P4 = H → Δφ = 45°

P5 = H → Δφ = 90°

P6 = H → Δφ = 180°

T_peak ≤ 260 °C

RF: 4, 18

VEE: 8

P6: 9

P4: 10

P1: 11

P3: 12

P2: 13

P5: 14

Dimensões do encapsulamento: 6 × 6 × 0.75 mm.

## Características RF TA = +25 °C

| Parâmetro | Símbolo | Mínimo | Típico | Máximo | Unidade |
|---|---|---|---|---|---|
| Frequência de operação | f | 1200 | - | 1600 | MHz |
| Faixa de defasagem | - | 5.625 | - | 354.375 | ° |
| Perda de inserção | - | - | -4.7 | - | dB |
| Erro RMS de fase em 64 estados | - | - | 0.8 | - | ° |
| Variação de amplitude induzida pela defasagem | - | - | ±0.4 | - | dB |

## Características RF

TA = +25 °C

| Parâmetro | Símbolo | Mínimo | Típico | Máximo | Unidade |
|---|---|---|---|---|---|
| VSWR de entrada | - | - | 1.4 | - | - |
| VSWR de saída | - | - | 1.4 | - | - |

## Polarização DC e correntes

TA = +25 °C

| Parâmetro | Símbolo | Mínimo | Típico | Máximo | Unidade |
|---|---|---|---|---|---|
| Tensão de alimentação negativa | - | -5.3 | -5 | -4.7 | V |
| Corrente de repouso da alimentação negativa | - | - | 0.003 | - | A |
| Corrente de acionamento de entrada [1] | - | - | 0.0002 | - | A |
| Tensão de entrada de nível alto | - | 4 | - | 5 | V |
| Tensão de entrada de nível baixo | - | 0 | - | 0.4 | V |

[1] VIH = 5 V; TTL

## Dimensões do encapsulamento

| Parâmetro | Valor | Unidade |
|---|---|---|
| Dimensões do encapsulamento | 6 × 6 × 0.75 | mm |

## Atribuição dos terminais

| Símbolo | Terminais | Função |
|---|---|---|
| GND | 3,5,17,19 | Terra |
| NC | 1,2,6,7,15,16,20,21,22,23,24,25,26,27,28 | Sem conexão |

## Tabela de estados de controle

| Estado | P1 | P2 | P3 | P4 | P5 | P6 |
|---|---|---|---|---|---|---|
| Estado de referência | L | L | L | L | L | L |
| 5.625° | H | L | L | L | L | L |
| 11.25° | L | H | L | L | L | L |
| 22.5° | L | L | H | L | L | L |

## Tabela de estados de controle

| Estado | P1 | P2 | P3 | P4 | P5 | P6 |
|---|---|---|---|---|---|---|
| 45° | L | L | L | H | L | L |
| 90° | L | L | L | L | H | L |
| 180° | L | L | L | L | L | H |

**Registro da publicação atual** · 1.3 · 2026-11-12. Atualização da descrição ou do conteúdo editorial. Substitui a revisão 1.2.

## Notas de integração

QFN28 6 × 6 mm As portas RF exigem capacitores externos de bloqueio DC. TTL: H = 5 V; L = 0 V; φref: P1–P6 = L P1 = H → Δφ = 5.625° P2 = H → Δφ = 11.25° P3 = H → Δφ = 22.5° P4 = H → Δφ = 45° P5 = H → Δφ = 90° P6 = H → Δφ = 180° T_peak ≤ 260 °C RF: 4, 18 VEE: 8 P6: 9 P4: 10 P1: 11 P3: 12 P2: 13 P5: 14

## Desenho dimensional mecânico

Desenho de referência com algumas cotas em mm. Para a montagem, use o desenho de instalação completo.

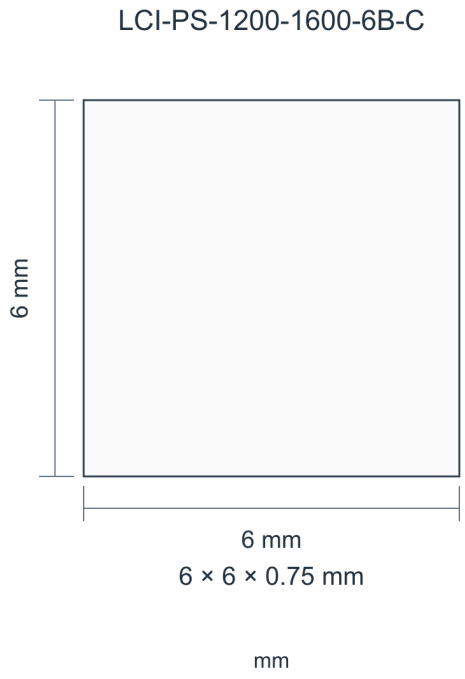


**Aviso do documento**

As especificações podem ser revisadas. Antes de concluir o projeto, confirme com a LCRF a revisão vigente e os requisitos específicos do produto. A proposta aprovada e a documentação do pedido definem a configuração fornecida.